

## III-B139

## 埋設管施工に用いられる砂粒土の設計用弾性定数

大阪市立大学 伊地 朝太・東田 淳 タキロン 日野林謙二

まえがき 土の変形性は、たわみ性埋設管の土中での変形挙動を支配する重要な要因である。現行の埋設管設計法<sup>1)</sup>では土の受動抵抗係数 $e'$ (設計用 $e$ )によって土の変形性を評価しているが、この設計用 $e$ は実際の土の変形性を正しく反映していない。東田ら<sup>2)</sup>は、遠心実験に基づいて設計用弾性FEMモデルを作成し、埋設管の合理的な設計法を提案した。この設計法では、土を等方弾性体と仮定し、土の変形性を変形係数 $E_s$ とポアソン比 $\nu_s$ によって評価している。本研究では、埋設管施工に用いられる3種類の砂粒土に対する $K_0$ 圧縮試験を実施し、測定結果に基づいて提案設計法で用いる土の弾性定数( $E_s$ と $\nu_s$ )の求め方を提案する。

装置、土材料、載荷方法 図-1に $K_0$ 試験装置を示す。この装置を用いて、側方を拘束した $K_0$ 条件で $12\text{cm} \times 12\text{cm} \times 10\text{cm}$ の直方体供試体に垂直応力 $\sigma_1$ を段階的に載荷し、軸ひずみ $\epsilon_1$ と側方応力 $\sigma_3$ を測定する。各段階で測定された $\sigma_1$ 、 $\sigma_3$ 、 $\epsilon_1$ を、土を等方弾性体と仮定した場合のHookeの法則から求まる式

$$\nu_s = (\sigma_3/\sigma_1)/(1+\sigma_3/\sigma_1) \quad (1) \quad E_s = (1-\nu_s - \nu_s^2)(1-\nu_s) \cdot \sigma_1/\epsilon_1 \quad (2)$$

に代入して $E_s$ と $\nu_s$ を求める。摩擦の影響を除くため、圧縮箱の側壁にリュブリケーションを施すとともに、 $\sigma_1$ は上下載荷板に接続したロードセルによる測定値の平均を用いる。

実験に用いた土材料は、表-1に示す乾燥砂、まさ土、シルト質砂の3種類で、細粒分含有率を用いてそれぞれS0、S16、S30と表す。また供試体の密度は表-2に示すように $\rho_d$ を4通りに変え、 $\rho_d$ の小さい方からI、II、III、IVと表す。S0供試体は漏斗を用いた空中落下法により、S16、S30供試体は仕上がり層厚2cmで締固めて作成した。

$\sigma_1$ は、最大100mの高盛土下に管が埋設される場合にも対応できるよう $20\text{kgf/cm}^2$ まで載荷した。載荷方法は、段階的に $\sigma_1$ を増やす単調載荷と、 $\sigma_1=3\text{kgf/cm}^2$ および $9\text{kgf/cm}^2$ まで載荷した後、除荷、再載荷を行う繰返し載荷の2通りとした。

単調載荷試験の結果 単調載荷試験で得られた $\sigma_1-\epsilon_1$ と $\sigma_1-\nu_s$ を図-2、3に示す。図-4は、図-2、3のデータを式(2)に代入して求めた $\sigma_1-E_s$ 曲線である。 $\sigma_1$ の増加に伴い、S0の $E_s$ は単調に増える。一方、S16とS30の $E_s$ は、図-2に示した $\sigma_1-\epsilon_1$ 曲線が、 $\sigma_1$ 載荷の初期にS字形の曲線(下に凸の曲線から上に凸の曲線に変わる)の傾向は図-5の方が明瞭である。)となるため、急勾配で増えてピークに達する。なお、 $E_s$ がピークに達するまでの $\nu_s$ は図-3に示したように減るが、この $\nu_s$ の変化が $E_s$ に与える影響は比較的小さい。 $E_s$ はその後いったん減ってから直線的に増える。

キーワード:  $K_0$ 圧縮試験、埋設管、砂粒土、弾性定数、設計

連絡先: 大阪市住吉区杉本3-3-138、大阪市立大学工学部土木工学科、東田 淳 (Tel & Fax 06-6605-2725)

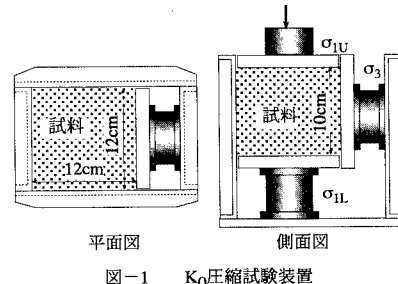
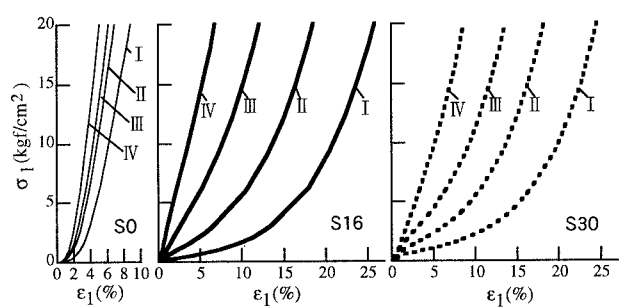
図-1  $K_0$ 圧縮試験装置

表-1 土材料の一次性質

材料	呼称	Gs	最大 mm	砂分 %	細粒分 %	$P_{dmax}$ $\text{g}/\text{cm}^3$	$P_{dmin}$ $\text{g}/\text{cm}^3$
乾燥砂	S0	2.65	1.4	100	0	1.75	1.58
まさ土	S16	2.71	2.0	84	16	70	1.92
シルト質砂	S30	2.67	2.0	70	30	115	1.86

表-2 供試体の状態量と表し方

線の 種類	土 (%)	$\omega$	$\rho_d$ ( $\text{g}/\text{cm}^3$ )			
			I	II	III	IV
—	S0	0	1.43	1.47	1.50	1.55
—	S16	10	1.50	1.60	1.70	1.80
···	S30	12	1.50	1.60	1.70	1.80

図-2 単調載荷試験で得られた $\sigma_1-\epsilon_1$ 関係

繰返し載荷試験の結果 繰返し載荷試験で得られた  $\sigma_1-\varepsilon_1$  関係を図-5に示す。再載荷過程では、 $\sigma_1$ が除荷前の応力 ( $3\text{kgf/cm}^2$  と  $9\text{kgf/cm}^2$ ) をこえると、S16と S30では  $\sigma_1-\varepsilon_1$  曲線の勾配が緩くなるが、S0では明確な勾配の変化が見られない。図-5と繰返し載荷試験で得られた  $\sigma_1-v_s$  曲線を用いて求めた  $\sigma_1-E_s$  関係を S16・II ( $\rho_d=1.60\text{g/cm}^3$ ) を例にとって図-6に示す。3本の実線が  $\sigma_1$  を増加する過程、2本の破線が除荷過程を表す。2回の再載荷過程の  $E_s$  は除荷前に加えた最大  $\sigma_1$  (矢印) でピークを示し、この  $\sigma_1$  が降伏応力  $p_y$  であることが分かる。この結果は、c-φ 材料の単調載荷試験から得られた  $\sigma_1-E_s$  関係(図-4)においても、 $E_s$  がピークを示す時の  $\sigma_1$  が締固めによって導入された  $p_y$  であることを示す。

設計用  $E_s \cdot v_s$  の求め方 単調載荷試験結果から設計用  $E_s \cdot v_s$  をどう求めるかを説明する。まず、 $\sigma_1$  が小さい範囲の  $v_s$  は一定ではない(図-3)が、この変化を無視し、単調載荷試験で測定された  $\sigma_1-\sigma_3$  曲線の  $\sigma_1 \geq 5\text{kgf/cm}^3$  の範囲の直線部の勾配を用いて式(1)により設計用  $v_s$  値(表-3)を求める。このように  $v_s$  を応力レベルによらず一定値としたのは、供試体作成の際、締固めを終った段階で  $\sigma_3$  の値がゼロとならないので、 $\sigma_1$  が小さい範囲では式(1)から求めた  $v_s$  の変化が見かけ上、拡大されていると考えられること、および一定  $v_s$  とすることによって設計が非常に簡単になる( $E_s$  は少し減つて安全側となる)という実用上の理由による。

つぎに、この一定の設計用  $v_s$  値、および各  $\sigma_1$  における  $\sigma_1/\varepsilon_1$  の値を用いて式(2)により  $E_s$  と  $\sigma_1$  の関係を求める。そして、c-φ 材料では図-4に示した  $E_s-\sigma_1$  曲線の初期に見られる  $E_s$  のピーク時の  $\sigma_1$  として  $p_y$  を定め、 $\sigma_1 \leq p_y$  の範囲では土が線形弾性体として挙動すると仮定して  $E_s$  を一定値(=ピーク値)とし、 $p_y < \sigma_1$  の範囲では設計用  $v_s$  を用いて求めた

$E_s-\sigma_1$  曲線のままする。さらに  $E_s$  のピ

ークが見られないφ材料では、設計用  $v_s$  値を用いて求めた  $E_s-\sigma_1$  曲線をそのまま設計に用いる。以上により、設計用  $E_s-\sigma_1$  曲線が図-7に示すように求まる。

なお、図-7に示したように  $E_s$  は  $\sigma_1$  によって異なる値をとるが、提案設計法では、管側深度の土自重応力を  $\sigma_1$  とした時の  $E_s$  値を用いて管の最大曲げモーメントと鉛直たわみ率を設計チャートから求めれば良いようになっている。

参考文献: 1) 例えば、農水省、土地改良事業計画設計基準、1998. 2) 東

田・吉村、たわみ性埋設管の合理的設計法の提案、土木学会論文集、N0.617/3-46、1999.

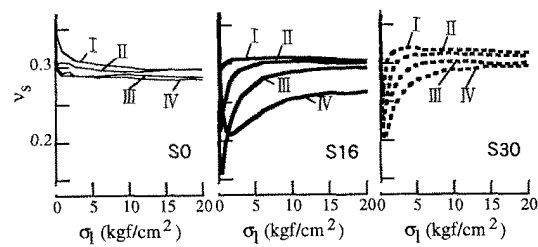
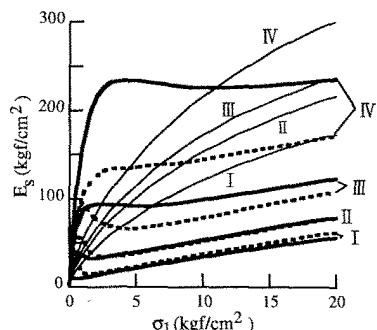
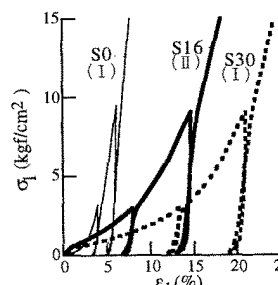
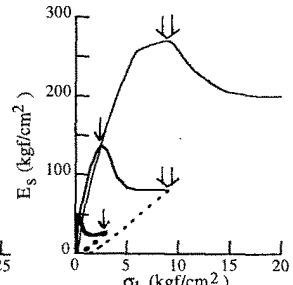
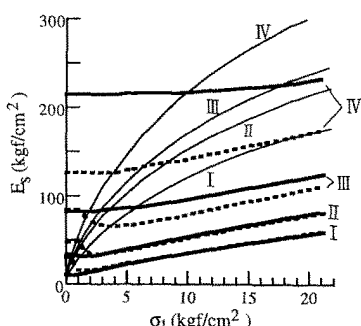
図-3 単調載荷試験で得られた  $\sigma_1-v_s$  関係図-4 単調載荷試験で得られた  $\sigma_1-E_s$  関係図-5 繰返し載荷試験で得られた  $\sigma_1-\varepsilon_1$  関係図-6 繰返し載荷試験で得られた  $\sigma_1-E_s$  関係(S16, II)

表-3 設計用ボアソン比

土	密度			
	I	II	III	IV
S0	0.29	0.29	0.29	0.28
S16	0.30	0.30	0.30	0.27
S30	0.32	0.31	0.30	0.30

図-7 設計用  $\sigma_1-E_s$  関係